

气流对电弧螺旋不稳定性的影响*

宫继全 宫野 刘金远 张鹏云

(大连理工大学三束材料表面改性国家重点实验室, 116024)

(2001 年 6 月 9 日收到 2001 年 7 月 12 日收到修改稿)

采用与时间有关的线性微扰理论,研究了气流作用下电弧等离子体的螺旋不稳定性,导出了相应方程和满足的边界条件,给出了临界 Maecker's 数和不稳定性增长率等定量结果.计算结果表明,轴向气流对电弧稳定性起重要作用.

关键词:电弧,稳定性,气流作用

PACC:5280,5230,5265

1 引 言

近年来,电弧等离子体在煤粉气化、等离子切割、断路器等诸多领域中有广泛的应用.但是,由于电弧等离子体受力环境复杂^[1],包含有电磁力、气流动力、黏滞力、热力等,并且其边缘处于非平衡态,边界条件复杂.所以,直到目前为止,国内外仅有少量工作,从简单模型出发,用磁流体动力学理论来研究,并且都假设宏观气流速度为零 $v_0 = 0$,而没有研究非零等离子体流的平衡^[2-4].然而,在电弧的实际应用中,大多数情况下,都存在着宏观的气流运动.例如,等离子体切割、喷涂的发生器中需用气流压缩电弧,以获得高功率和高功率密度的电弧;在等离子体焊接时,必须通入惰性气体(如 Ar)的气流,以防止工件的氧化;又如高压输电线路中的气吹断路器,需用高速气流冷却触头间电弧,以提高断路器的开断能力.而宏观气流的出现,将与电弧发生强烈的相互作用,从而使电弧或气流与它们分别单独存在时的特性有很大的变化.实验发现,气流对电弧等离子体螺旋不稳定性起稳定作用.但相应的理论、数值研究都没有很好开展.为此,本文研究了平衡气流 $v_0 \neq 0$ 的情形,分别讨论了旋转气流、轴向气流的作用,以及它们共同的作用.计算结果表明,轴向气流对电弧稳定性起重要作用,这与实验结果相符合.

2 基本方程

描述电弧等离子体运动的基本方程是简化磁流体力学(MHD)方程组^[5],考虑到外加气流后,一阶线性磁流体力学方程组为

$$\Delta q_1 - 2\mu_0 j_{1z} j_0 = 0, \quad (1)$$

$$\Delta \tilde{\omega}_{1z} + \eta^{-1} \nabla \times (\mathbf{j} \times \mathbf{B})_{\lambda_z}, \quad (2)$$

$$\Delta W_1 + \eta^{-1} \frac{\partial q_1}{\partial z} - \alpha^{-1} \frac{\partial (\mathbf{j} \cdot \mathbf{E})_{\lambda}}{\partial z} + \eta^{-1} (\mathbf{j} \times \mathbf{B})_{\lambda_z} = 0, \quad (3)$$

$$\nabla \cdot \mathbf{E}_1 = 0, \quad (4)$$

$$\nabla \times \mathbf{E}_1 = 0, \quad (5)$$

$$\mathbf{j}_1(r) = \sigma_0(r) \mathbf{E}_1(r) + \sigma_1(r) \mathbf{E}_0(z), \quad (6)$$

$$\nabla \times \mathbf{B}_1 = \mu_0 \mathbf{j}_1, \quad (7)$$

$$\nabla \cdot \mathbf{B}_1 = 0. \quad (8)$$

$$D_B \hat{S}_1^i - f^i(\rho) \lambda \hat{S}_1^i / d\rho + 4\alpha(\omega_0 - kv_0(r)) \mathcal{K}(\sigma_0 E_0^2) f^i(\rho) \mathcal{K}(\zeta^2 / \rho_c^2 - 2) \rho \hat{S}_1^i = \alpha f^i(\rho) \mathcal{Y}(\hat{\omega}_{1\phi}^i / k + id\hat{W}_1^i / d\rho - \hat{\epsilon}_c) \mathcal{Y}k - (\mathbf{j} \cdot \mathbf{E})_{\lambda} / k^2, \quad (9)$$

$$D_B \hat{S}_1^e - f^e(\rho) \lambda \hat{S}_1^e / d\rho + 2\alpha(\omega_0 - kv_0(r)) \rho f^e(\rho) \mathcal{K}(\sigma_0 E_0^2 \rho_c^2 (1 - \zeta/2)) \hat{S}_1^e = \alpha f^e(\rho) \mathcal{Y}(\hat{\omega}_{1\phi}^e / k + id\hat{W}_1^e / d\rho - \hat{\epsilon}_c) \mathcal{Y}k, \quad (10)$$

其中 η 为黏性系数,电导率 σ 选用抛物线形分布,即柱内电导率 $\sigma = \sigma_0(r) = \sigma_0(1 - \zeta^2/r_c^2)$,其中 σ_0 为常数; ζ 为形状因子.上角标 i, e 分别表示电弧内

* 国家自然科学基金(批准号:19875007)资助的课题.

外的量。(1)–(3)式是动量扰动方程(4)–(8)式为电磁场扰动方程(9)和(10)式为能量扰动方程.所引用的辅助量以及各物理量的意义见文献[2]和[6].

3 扰动方程求解

采用双通道模型,设稳态平衡时电弧是半径为 r_c 的无限长圆柱,通道半径为 r_c ,管壁半径为 R .考虑到径向气流速度通常很小,外部气流取如下形式^[6],

$$v_0 = r\omega_0 e_\varphi + v_0(r) e_z, \quad (11)$$

其中轴向气流 Z 方向取抛物线形式为

$$v_0(r) = ar^2 + b. \quad (12)$$

引入辅助量的无量纲形式^[2](上角标 * 表示无量纲形式)

$$\begin{aligned} q_1^* &= k^2 q_1(\mu_0 j_0^2 \rho_c); \\ \omega_1^* &= k^2 \eta_1(\omega_{1r}, i\omega_{1\phi}, i\omega_{1z})(\mu_0 j_0^2 \rho_c); \\ W_1^* &= ik^3 \eta W_1(\mu_0 j_0^2 \rho_c); \\ S_1^* &= S_1/IE_0. \end{aligned} \quad (13)$$

通过复杂的数学推导^[7,8],方程(1)(2)(3)的解分别为

$$\begin{aligned} \hat{q}_1^{*i} &= c_1 I_1(\rho) + M_2 A \zeta \rho I_1'(\rho) + A \{ (M_1 - 5/2 \\ &\quad - \zeta/\rho_c) \zeta - \rho_c^2 \} \rho I_1'(\rho) \\ &\quad + [\zeta/2 - 13 \zeta^2 (60 \rho_c^2)] \rho^2 I_1(\rho) \\ &\quad + [\zeta + 43 \zeta^2 (60 \rho_c^2)] \rho^3 I_1'(\rho) \\ &\quad + [-3 \zeta^2 (20 \rho_c^2)] \rho^4 I_1(\rho) \\ &\quad + [-3 \zeta^2 (10 \rho_c^2)] \rho^5 I_1'(\rho) \}, \end{aligned} \quad (14)$$

$$\hat{q}_1^{*e} = c_7 I_1(\rho) + c_8 K_1(\rho), \quad (15)$$

$$\begin{aligned} \hat{\omega}_{1z}^{*i} &= c_2 I_1(\rho) + M_2 A [(\rho_c^2/4 + \zeta/2) \rho I_1'(\rho) \\ &\quad - \zeta \rho^2 I_1(\rho)] + 6 - \zeta \rho^3 I_1'(\rho) / 12 \\ &\quad + A [(M_1 - 1/2) \rho_c^2 / 2 \\ &\quad + (M_1 - 2) \zeta - \zeta^2 / \rho_c^2] \rho I_1'(\rho) \\ &\quad + A [(3/8 - M_1/3) \zeta - 2 \zeta^2 (5 \rho_c^2)] \\ &\quad \cdot \rho^2 I_1(\rho) + A [-11 \zeta^2 (80 \rho_c^2)] \rho^4 I_1(\rho) \\ &\quad + A [(1/8 - M_1/6) \zeta + 2 \zeta^2 (5 \rho_c^2)] \rho^3 I_1'(\rho) \\ &\quad + A [-\zeta^2 (40 \rho_c^2)] \rho^5 I_1'(\rho), \end{aligned} \quad (16)$$

$$\hat{\omega}_{1z}^{*e} = c_{11} I_1(\rho) + c_{12} K_1(\rho). \quad (17)$$

$$\begin{aligned} \hat{W}_1^{*i} &= c_4 [-\rho I_1'(\rho) / 2] + c_3 I_1(\rho) \\ &\quad + M_2 A \{ \rho I_1'(\rho) / 4 - \rho^2 I_1(\rho) / 8 \} \\ &\quad + M_3 A [(-\rho_c^2 - \zeta) \rho I_1'(\rho) + \zeta \rho^2 I_1(\rho) / 6 \end{aligned}$$

$$\begin{aligned} &\quad + \zeta \rho^3 I_1'(\rho) / 3] + A \{ -\rho_c^2 / 4 \\ &\quad + (M_1/2 - 5/4) \zeta - \zeta^2 (2 \rho_c^2) \} \rho I_1'(\rho) \\ &\quad + [-M_1 \zeta / 4 + 5 \zeta / 8 + \rho_c^2 / 8 - \zeta^2 (40 \rho_c^2)] \rho^2 I_1(\rho) \\ &\quad + [11 \zeta^2 (40 \rho_c^2)] \rho^3 I_1'(\rho) \\ &\quad + [-\zeta / 32 - 43 \zeta^2 (480 \rho_c^2)] \rho^4 I_1(\rho) \\ &\quad + [\zeta^2 (240 \rho_c^2)] \rho^6 I_1(\rho) \}. \end{aligned} \quad (18)$$

$$\begin{aligned} \hat{W}_1^{*e} &= c_5 [-\rho I_1'(\rho) / 2] + c_8 [-\rho K_1'(\rho) / 2] \\ &\quad + c_9 I_1(\rho) + c_{10} K_1(\rho). \end{aligned} \quad (19)$$

其中 $A = \epsilon_c \sqrt{r_c \rho_c^2 (1 - \zeta/2)^2 I_1'}$, $M_2 = (1 - \zeta/2) \rho_c FM(t)$, $M_3 = \pi \rho_c^2 (1 - \zeta/2) Mk$, $c_1, c_2, c_3, c_7, \dots, c_{12}$ 为待定积分常数.

方程(9)和(10)的解分别为

$$\begin{aligned} \hat{S}_1^{*i} &= \sum_{\gamma=1}^4 c_\gamma F_\gamma(\rho) + \epsilon_c Mk^{-1} F_5(\rho) / r_c \\ &\quad + \epsilon_c F_6(\rho) / r_c + \epsilon_c FM(t) F_7(\rho) / r_c \\ &\quad + \epsilon_c \tau Mk^{-1} F_8(\rho) / r_c, \end{aligned} \quad (20)$$

$$\hat{S}_1^{*e} = \sum_{\gamma=5}^{12} c_\gamma G_{\gamma-4}(\rho) + \epsilon_c \tau Mk^{-1} G_9(\rho) / r_c. \quad (21)$$

其中 $\tau = \pi r_c^2 \alpha / L$ 是特征时间常数,而 $Mk = \alpha \mu_0 I / (\eta E_0)$ 为 Maecker 数. F_γ, G_γ 的表达式见文献[8].

4 边界条件

考虑了气流作用后,边界条件如下:

$$\hat{S}_1^{*e}(\rho_w) = 0, \quad (22)$$

$$\begin{aligned} \hat{\omega}_{1\varphi}^{*e}(\rho_w) + d [\hat{W}_1^{*e} + \pi^2 \rho_c^3 \hat{S}_1^{*e} / Mk] d\rho &= 0 \\ (\rho = \rho_w), \end{aligned} \quad (23)$$

$$\hat{\omega}_{1r}^{*e}(\rho_w) = 0, \quad (24)$$

$$\hat{W}_1^{*e}(\rho_w) = 0, \quad (25)$$

$$\hat{S}_1^{*i} = 0, \quad (26)$$

$$\begin{aligned} d\hat{q}_1^{*i} / d\rho + ik(\mathbf{j} \times \hat{\mathbf{B}}) \lambda_r \Big|_{\rho=\rho_c} (\mu_0 j_0^2 \rho_c) \\ - \epsilon_c \frac{\eta k^3 \mathbf{i}}{\mu_0 j_0^2 \rho_c} \frac{\partial v_{0z}(r)}{\partial \rho} \Big|_{\rho=\rho_c} = 0, \end{aligned} \quad (27)$$

$$\begin{aligned} d\hat{\omega}_{1z}^{*i} / d\rho - \hat{q}_1^{*i} / \rho \\ + ik(\mathbf{j} \times \hat{\mathbf{B}}) \lambda_\varphi \Big|_{\rho=\rho_c} (\mu_0 j_0^2 \rho_c) = 0, \end{aligned} \quad (28)$$

$$\begin{aligned} \hat{q}_1^{*e} + ik(\mathbf{j} \times \hat{\mathbf{B}}) \lambda_z \Big|_{\rho=\rho_c} (\mu_0 j_0^2 \rho_c) \\ + \epsilon_c \frac{\eta k^3 \mathbf{i}}{\mu_0 j_0^2 \rho_c} \frac{\partial v_{0z}(r)}{\partial \rho} \Big|_{\rho=\rho_c} = 0, \end{aligned} \quad (29)$$

$$\hat{\omega}_{1z}^* = 0, \quad (30)$$

$$\hat{W}_1^* = 0, \quad (31)$$

$$d\hat{S}_1^*/d\rho = \frac{\epsilon_c}{\pi\rho_c r_c}, \quad (32)$$

$$d\hat{W}_1^*/d\rho + \pi^2\rho_c^3 d\hat{S}_1^*/d\rho / Mk_c - \epsilon_c \frac{\eta k^3 i}{\mu_0 J_0^2 \rho_c} \left. \frac{\partial v_{0z}(r)}{\partial \rho} \right|_{\rho=\rho_c} = 0, \quad (33)$$

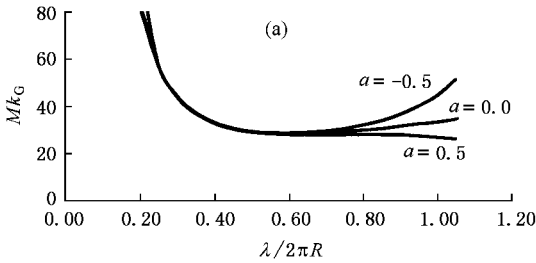
$$k\epsilon_c dS_0/d\rho |_{\rho=\rho_c} + \hat{S}_1(\rho) = 0. \quad (34)$$

5 螺旋不稳定性分析 ,计算结果与讨论

将扰动方程的解代入上述边界条件 ,可得矩阵形式的方程组

$$MC_c = 0.$$

令相应矩阵 M 的行列式等于零 ,可求得色散关系 ,进而可求得不稳定性增长率等结果 .



计算中 ,部分参数取自文献[3],其中 $I = 18A$, $r_c/R = 0.11$, $R = 10\text{mm}$, $\zeta = 0.005$,计算结果分析如下 .

图 1 是取轴向气流为抛物形式时的作用效果 .当系数 a 取负值时 ,即气流方向与电弧螺旋扰动方向一致时 ,相应的临界 Maekker 's 数 Mk_c 比无气流情形的 Mk_c 高 ,稳定区域增大 ;而不稳定性增大率 Ω_0 比无气流情形的 Ω_0 低 ,因而增强了电弧的稳定性 .反之 ,当系数 a 取正值时 , Mk_c 低 ,稳定区域减小 ,而 Ω_0 高些 ,电弧趋于不稳定 .

图 2 是轴向气流取恒定形式的作用效果 .对照图 1 ,作用效果比较明显 .当系数 b 取负值时 ,相应的 Mk_c 增高 ,稳定区域增大显著 ,同时电弧的稳定性也明显提高 ;反之 ,当 b 取正值时 , Mk_c 低 ,稳定区域减小 ,而 Ω_0 高些 ,电弧稳定性降低 .

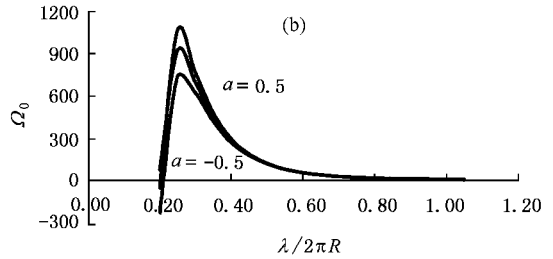


图 1 轴向气流取抛物线形式作用的结果 (a)和(b)分别为临界 Maekker 数和 不稳定性增长率 Ω_0 随波长 $\lambda/2\pi R$ 变化的曲线(a 分别取 0.5 0.0 , -0.5 参数 $b = 0.0$)

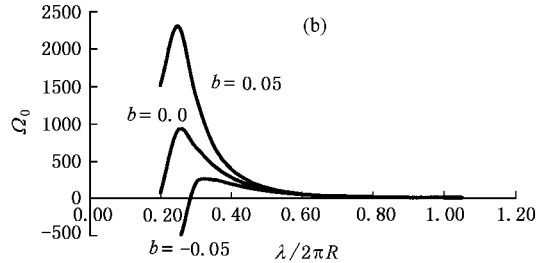
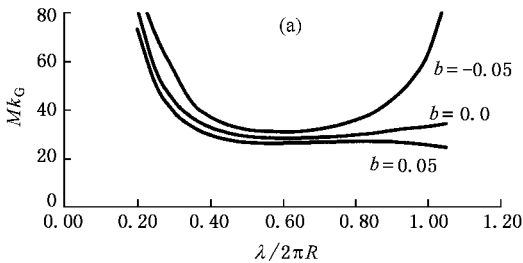


图 2 轴向气流取恒定形式的作用结果 (a)和(b)分别为临界 Maekker 数和 不稳定性增长率 Ω_0 随波长 $\lambda/2\pi R$ 变化的曲线(b 分别取 0.05 , 0.0 , -0.05m/s 参数 $a = 0.0$)

图 3 是轴向气流取通用形式时对电弧稳定性的影响 .结果表明常数项起主要作用 .当 a , b 同时取负值时 ,对电弧的稳定作用明显 ,稳定区域增大显著 .

图 4 考虑只加入旋转方向的气流的作用 .当气流的旋转系数 ω_0 为正值 ,即旋转气流方向与电弧

螺旋扰动方向一致时 ,临界 Mk_c 增高 ,稳定区域增大显著 ,稳定性也有所增加 ;当 ω_0 为负值时 , Mk_c 降低 ,稳定区域减小 .但旋转气流对电弧的稳定性影响不大 .

图 5 是外加气流的综合作用图 .当旋转气流 ω_0 为正值 ,轴向气流为负值时 ,电弧的稳定区域和稳定

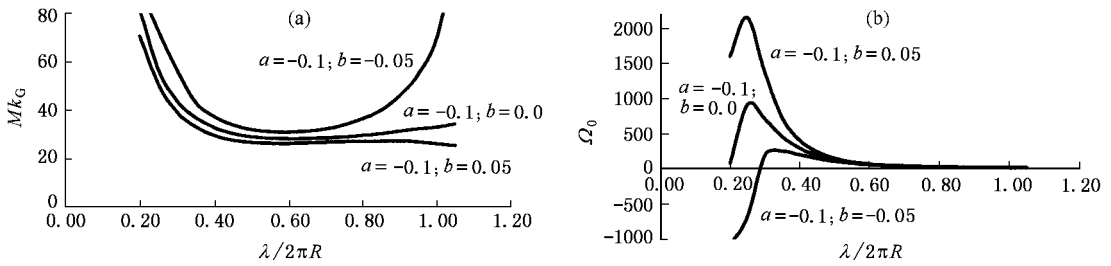


图 3 轴向气流取通用形式作用的结果 (a)和(b)分别为临界 Maekker 数和不稳定性增长率 Ω_0 随波长 $\lambda/2\pi R$ 变化的曲线(a 取 -0.1 ; b 分别取 $0.05, 0.0, -0.05$ m/s)

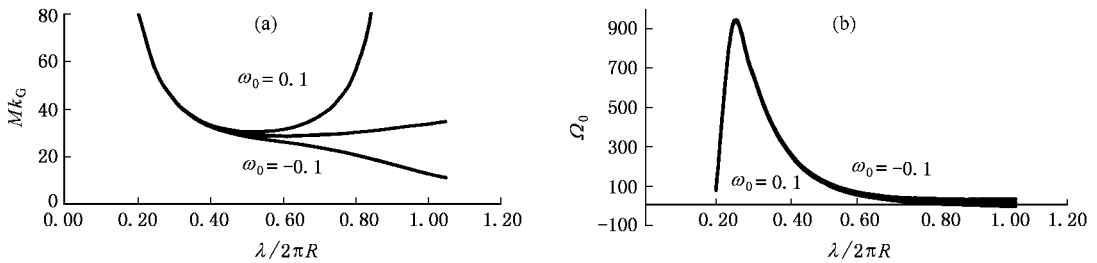


图 4 旋转气流 ω_0 作用的结果 (a)和(b)分别为临界 Maekker 数和不稳定性增长率 Ω_0 随波长 $\lambda/2\pi R$ 变化的曲线(ω_0 分别取 $0.1, 0.0, -0.1$ rad/s, 参数 $a=0.0, b=0.0$)

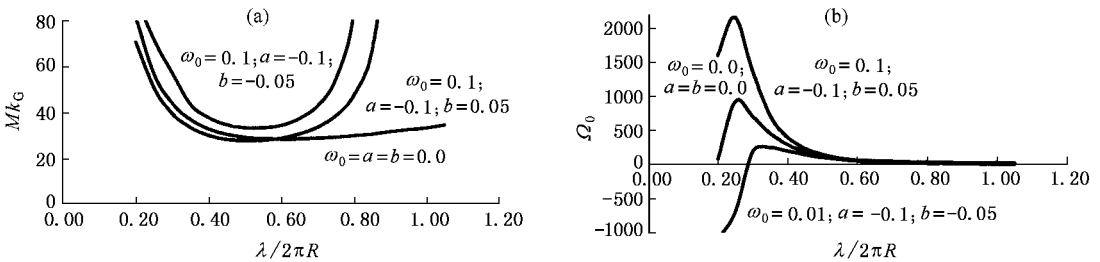


图 5 旋转气流和轴向气流共同作用结果 (a)和(b)分别为临界 Maekker 数和不稳定性增长率 Ω_0 随波长 $\lambda/2\pi R$ 变化的曲线(ω_0 取 0.1 rad/s; a 取 $-0.1, b$ 分别取 $0.05, 0.0, -0.05$ m/s)

性都明显增加.当改变轴向气流 b 的符号为正时,稳定性变弱明显,但稳定区域还是比未加气流时增大.

综上所述,轴向气流和旋转气流对电弧的稳定

性确实起作用,尤其是轴向气流,起着重要的作用.在实验中,我们也确实发现了这种现象,仅仅用旋转气流,电弧还很不稳定,一旦加上轴向气流,电弧马上变成笔直的柱子.

[1] Sun J S, Wu C S 2001 *Acta Phys. Sin.* **50** 209 (in Chinese) [孙俊生、武传松 2001 物理学报 **50** 209]
 [2] Huelsmann H G 1987 *J. Mentel. Phys. Fluids* **30** 2266
 [3] Huelsmann H G 1987 *J. Mentel. Phys. Fluids* **30** 2274
 [4] Liu J Y, Gong Y et al. 1996 *Acta Phys. Sin.* **45** 608 (in Chinese) [刘金远、宫野等 1996 物理学报 **45** 608]
 [5] Liu J Y, Gong Y et al. 2000 *Acta Phys. Sin.* **49** 502 (in Chinese) [刘金远、宫野等 2000 物理学报 **49** 502]

[6] Gong Y, Liu W Y, Liu J Y et al 2001 *Phys. Plasmas* **8** 3833
 [7] Liu J Y, Gong Y et al 1997 *Journal of Dalian Univ. of Technology* **37** 187 (in Chinese) [刘金远、宫野等 1997 大连理工大学学报 **37** 187]
 [8] Gong J Q 2001 *Thesis for the Master's Degree.* (Dalian Univ. of Technology)(in Chinese) [宫继全 2001 大连理工大学硕士学位论文]

The effect of gas flow on the arc helical instability*

Gong Ji-Quan Gong Ye Liu Jin-Yuan Zhang Peng-Yun

(State Key Laboratory for Material Modification by Laser , Ion and Electron Beams , Dalian University of Technology , Dalian 116024 , China)

(Received 9 June 2001 ; revised manuscript received 12 July 2001)

Abstract

The effect of gas flow on the helical instability is studied by using linear time perturbation theory in this paper , The corresponding equations and the boundary conditions are deduced . The marginal Maecker 's number and the growth rate of the helical instability are given . Computational results show that the axial gas flow play the main role on the arc stability .

Keywords : arc , stability , gas flow effect

PACC : 5280 , 5230 , 5265

* Project supported by the National Natural Science Foundation of China (Grant No. 19875007).